

Estudio del efecto del principio de localidad en el acceso a datos en programas

Álvaro Goldar Dieste
Universidad de Santiago de Compostela
Santiago de Compostela, España
alvaro.goldar@rai.usc.es

Francisco Javier Cardama Santiago
Universidad de Santiago de Compostela
Santiago de Compostela, España
franciscojavier.cardama@rai.usc.es

Resumen—En este documento se estudia el efecto del principio de localidad en el acceso a datos en programas, empleando un computador específico.

Se parte de un código inicial, con el que se realizan diversas pruebas con las que estudiar el número de ciclos medios por acceso a memoria y, posteriormente, el efecto de las precargas por *software* y *hardware* en la caché. Estas pruebas se basan en la reducción de una suma en punto flotante de doble precisión de un subconjunto de los elementos de un array $A[]$ equiespaciados en D , distribuidos a lo largo de L líneas caché. Estos parámetros se irán variando para analizar cómo afectan al rendimiento del programa.

Mediante estas pruebas se termina por concluir que el rendimiento del programa es menor a medida que la separación entre los elementos del array $A[]$ y el tamaño del experimento crecen; por otra parte, el empleo de la precarga parece mejorar levemente el rendimiento global.

Palabras clave—caché, jerarquía de memoria, latencia, principio de localidad, precarga

I. INTRODUCCIÓN

En cada uno de los experimentos llevados a cabo se determina el coste temporal de un bucle de computación, el cual precisa leer constantemente datos dispuestos en memoria, estimándose así el número medio de ciclos del procesador por acceso a memoria. Estos experimentos son llevados a cabo en un computador en específico, cuyas especificaciones de interés se encuentran descritas en la sección II.

A continuación, se analiza el tipo de experimento a realizar en la sección III. Para ello, se ha elaborado un programa de pruebas en el lenguaje C, en el cual se variarán los parámetros de entrada disponibles en cuanto al patrón de accesos a realizar y el tamaño del conjunto de datos a procesar. Además, también se comprueban, en la sección IV, las técnicas de precarga disponibles en el computador de pruebas y cómo se analizarán sus efectos.

Con ello, conociendo ya la arquitectura de la memoria caché dispuesta en el procesador escogido, se realizarán y analizarán todas las pruebas en la sección V, siendo posible determinar los efectos del principio de localidad y de la precarga de datos (*prefetching*) sobre el programa en función de los ciclos medios por acceso obtenidos y los valores dados como parámetros de entrada.

Finalmente, se tratan, a modo de resumen, las conclusiones extraídas a partir de las pruebas realizadas en la sección VI.

II. COMPUTADOR EMPLEADO EN LOS EXPERIMENTOS

II-A. Jerarquía de memoria del procesador

El modelo de procesador escogido para la realización de las pruebas es el Intel Core i3-7100 [1]. Este tiene la capacidad de ejecutar hasta cuatro hilos simultáneamente, pero al centrarse el objetivo de los experimentos en los efectos sobre una única jerarquía de memoria caché, tan solo se considerará un único núcleo del procesador para ello, y por ende el programa de pruebas se ejecutará sobre un único hilo.

Un núcleo del procesador cuenta con un total de cuatro cachés: dos cachés L1, una caché L2, y una caché L3. Las cachés L1 son, respectivamente, de instrucciones y de datos, por lo cual tan solo será de interés esta última al estudiarse los efectos sobre los datos. Por otra parte, los niveles L2 y L3 son compartidos entre instrucciones y datos, pero no supondrá un inconveniente para los experimentos dado que se realizarán constantemente las mismas operaciones, al estudiarse un bucle computacional de poca extensión.

Los datos de las tres memorias caché de interés se ven reflejados en el Cuadro I.

Cuadro I
ESPECIFICACIONES DE LAS CACHÉS DE INTERÉS DE LA CPU.

CACHE	Tamaño	Vías	Conjuntos	Tamaño conjunto
L1 (datos)	32 KB	8	64	512 bytes
L2 (unificada)	256 KB	4	1024	256 bytes
L3 (unificada)	3072 KB	12	4096	768 bytes

II-B. Sistema Operativo

Los experimentos se ejecutarán sobre el sistema operativo GNU/Linux, concretamente sobre la distribución Ubuntu 16.04.5 LTS basada en Debian, empleando la versión 4.4.0-131-generic del respectivo kernel.

Se procurará reducir al mínimo los programas en ejecución durante los experimentos para que no interfieran con el programa de pruebas. Además, es conveniente que una ejecución de este último suponga un único experimento, para reducir también la posibilidad de que el planificador del sistema operativo interfiera en las pruebas.

Para este último aspecto, se ha elaborado un script en el lenguaje Python mediante el cual automatizar las pruebas a

realizar, relegando a este la tarea de variar los parámetros de entrada del programa en C para ejecutarlo un número determinado de veces, y de generar tras ello las gráficas de los experimentos realizados.

III. PROGRAMA DE PRUEBAS

III-A. Funcionamiento del programa

El programa realiza una reserva de memoria para un número determinado de elementos de tipo `Double`, tras lo cual accede tan solo a un subconjunto de ellos, todo ello en función de los parámetros de entrada, efectuando una reducción de punto flotante sobre estos últimos. Es en esta sección del programa en donde se encuentra el bucle computacional de interés, y se ejecuta un total de 10 veces.

El programa requiere los siguientes valores para su ejecución:

- $A[]$: array de elementos `Double` reservados.
- D : paso entre los valores a los que acceder.
- L : número de líneas caché L1 a las que acceder, existiendo siete valores que probar con cada D , y calculadas en función de $S1$ y $S2$.
- $S1$: número de líneas que caben en la caché L1 de datos.
- $S2$: número de líneas que caben en la caché L2.
- R : número de elementos de $A[]$ a los que acceder, en función del paso D y de modo que se acceda a las L líneas diferentes.
- $e[]$: array con los índices de los elementos de $A[]$ a los que acceder, puesto que el acceso a los elementos de $A[]$ no se realiza de forma directa.

Consecuentemente, puede concretarse la reducción de punto flotante mediante la siguiente expresión:

$$A[0] + A[D] + A[2D] + \dots + A[(R-1) \cdot D] = \sum_{i=0}^{R-1} A[i \cdot D].$$

Cabe además destacar que es conveniente alinear la reserva de memoria al inicio de una línea caché, para lo cual se dispone de la función `_mm_malloc(TC, CLS)`, siendo TC el número de bytes a reservar y CLS el tamaño de una línea caché en bytes. Esta función devuelve un puntero alineado a CLS bytes.

También se incluye una fase de calentamiento mediante la cual evitar efectos de inicialización de componentes como las cachés o las TLBs. Esta simplemente consiste en inicializar los valores del vector $A[]$ a emplear.

III-B. Cálculo de R

Para obtener el valor apropiado de R en función de el valor D dado y el L correspondiente, es necesario diferenciar dos escenarios.

En el caso de que el paso especificado no supere el tamaño de una línea, se debe reservar memoria para, a lo sumo, L líneas consecutivas. Se calcula entonces el número de elementos a leer R en función de cuántos caben en las L líneas, y dividiendo en función del paso.

Sin embargo, si el paso especificado supera el tamaño de una línea, es altamente probable que en algún momento durante la ejecución se salte una de las líneas reservadas a causa del paso y , de este modo, el cálculo de R no resultaría en las L líneas diferentes que se deben leer.

Para ello, simplemente es necesario asignar a R el número de líneas caché distintas a leer puesto que, al disponer de un paso mayor al tamaño de una línea, en ningún momento se leen dos valores pertenecientes a la misma línea caché.

III-C. Cálculo de TC

Para obtener el tamaño necesario para la reserva de elementos del array $A[]$, es necesario considerar tanto el número de elementos a leer en memoria como el paso entre estos.

Por lo tanto, al ser R_0 el primer elemento de $A[]$, es necesario reservar memoria para un elemento y , para cada uno de los restantes elementos a leer, reservar D elementos para respetar el paso dado.

III-D. Código fuente

Se dispone a continuación el código fuente del programa de pruebas escrito en C para los experimentos. Empleando el compilador `GCC` en su versión 5.4.0, es importante especificar la opción `-O0` para que no se efectúe ningún tipo de optimización en el código puesto que, en caso contrario, el compilador podría decidir eliminar el bucle computacional si detectase que los resultados nunca serían empleados.

De todos modos, antes de finalizar la ejecución se imprimen los resultados de los cálculos realizados, evitando de este modo a la fuerza que el compilador pueda efectuar la optimización descrita anteriormente.

```

1 #include <stdio.h>
2 #include <stdlib.h>
3 #include <math.h>
4 #include <pmmintrin.h>
5 #include <time.h>
6 #include <unistd.h>
7
8 /* Especificaciones de la CPU */
9 #define S1 64 * 8
10 #define S2 1024 * 4
11 #define CLS 64
12
13 /* Macros auxiliares */
14 #define NUM_S 10
15 #define DOUBLES_LINEA CLS / sizeof( double )
16
17 /* Funciones a emplear */
18 void start_counter();
19 double get_counter();
20 double mhz();
21
22 /* Se inicializa el contador de ciclos */
23 static unsigned cyc_hi = 0;
24 static unsigned cyc_lo = 0;
25
26 /* Main */
27 int main( int argc , char **argv )
28 {
29     /* Variables a emplear */
30     double ck;
31     // Valor D
32     int D;
33     // Valores L

```

```

34 int valoresL[] = { S1 / 2, 3 * S1 / 2, S2 / 2, 3 *
    S2 / 4, 2 * S2, 4 * S2, 8 * S2 };
35 // Valor R
36 int R;
37 // Valores e
38 int *e;
39 // Valores S
40 double valoresS[ NUM_S ];
41 // Valores A
42 double *valoresA;
43 // TC calculado
44 int TC;
45 // Suma temporal
46 double suma;
47 // Contadores
48 int i;
49 int j;
50 // Fichero en el que guardar el resultado
51 FILE *fichero;
52
53 /***** Argumentos *****/
54
55 if( argc < 3 )
56 {
57     printf( "Número de valores incorrecto. Uso: %s
        <D> <L>", argv[ 0 ] );
58     exit( EXIT_FAILURE );
59 }
60
61 /***** Inicialización *****/
62
63 // Semilla para generar números aleatorios
64 srand( ( unsigned )time( NULL ) );
65
66 // Valor de D obtenido de los argumentos
67 D = atoi( argv[ 1 ] );
68
69 // Valor para R en función del D obtenido
70 if( D <= DOUBLES_LINEA )
71 {
72     R = ( int )ceil( valoresL[ atoi( argv[ 2 ] ) ]
        * DOUBLES_LINEA / D );
73 }
74 else
75 {
76     R = valoresL[ atoi( argv[ 2 ] ) ];
77 }
78
79 // Valores para e, reservando en primer lugar
80 // espacio para las posiciones pertinentes
81 if( ( e = ( int * )malloc( R * sizeof( int ) ) )
    == NULL )
82 {
83     perror( "Reserva de memoria fallida" );
84     exit( EXIT_FAILURE );
85 }
86
87 // El límite superior es el número de valores con
88 // los que efectuar la suma
89 for( i = 0; i < R; i++ )
90 {
91     // Se consideran el número de posición y el paso
92     // dado
93     e[ i ] = i * D;
94 }
95
96 // Se obtienen valores para A, reservando memoria
97 // para los elementos intermedios
98 TC = ( R - 1 ) * D + 1;
99
100 // Se alinea la reserva al inicio de una línea de
101 // la caché
102 if( ( valoresA = _mm_malloc( TC * sizeof( double )
    , CLS ) ) == NULL )
103 {
104     perror( "Reserva de memoria fallida" );
105     exit( EXIT_FAILURE );
106 }
107
108 // Se genera en cada posición un valor entre 1 y
109 // 2 (positivo o negativo)
110 for( i = 0; i < TC; i++ )
111 {
112     valoresA[ i ] = ( ( double )rand() / RAND_MAX
        + 1 ) * pow( -1, rand() % 2 );
113 }
114
115 /***** Pruebas *****/
116
117 // Se registra el contador de la CPU
118 start_counter();
119
120 // Se realizan las sumas especificadas
121 for( i = 0; i < NUM_S; i++ )
122 {
123     // Se emplean los índices calculados
124     for( j = 0, suma = 0; j < R; j++ )
125     {
126         // Se realiza el acceso a memoria
127         suma += valoresA[ e[ j ] ];
128     }
129
130     // Se almacena la reducción de punto flotante
131     valoresS[ i ] = suma;
132 }
133
134 // Se registran los ciclos transcurridos desde el
135 // registro del contador
136 ck = get_counter();
137
138 // Se abre el fichero
139 if( ( fichero = fopen( "resultado.csv", "a" ) ) ==
    NULL )
140 {
141     perror( "No se ha podido abrir el fichero para
        escritura" );
142     exit( EXIT_FAILURE );
143 }
144
145 // Se guardan el valor de L, el número de ciclos
146 // medios por acceso y el valor de D en un formato
147 // csv que vaya a interpretar el graficador
148 fprintf( fichero, "%d,%1.10lf,%d\n", valoresL[
    atoi( argv[ 2 ] ) ],
    ck / ( NUM_S * R ), D );
149
150 // Se imprimen las sumas realizadas
151 for( i = 0; i < NUM_S; i++ )
152 {
153     printf( "%f\n", valoresS[ i ] );
154 }
155
156 // Se libera la memoria reservada
157 free( e );
158 _mm_free( valoresA );
159
160 return( EXIT_SUCCESS );
161 }

```

Programa de pruebas en C.

IV. EFECTOS DE LA PRECARGA SOBRE LOS EXPERIMENTOS

IV-A. La precarga en el procesador de pruebas

Existe una técnica para incrementar la velocidad de ejecución de un código, denominada *precarga* (*prefetching*). Esta

consiste en cargar datos, bien sean instrucciones o no, antes de que el procesador los necesite, trayéndolos de la zona de la jerarquía de memoria en donde se encuentren a una zona que esté más cercana al procesador.

Intel, el fabricante del procesador de pruebas, ofrece dos implementaciones de la precarga: mediante hardware y mediante software [4].

Empleando el hardware, el procesador se encarga de identificar patrones de acceso a datos para traer datos a la memoria caché.

Por otra parte, el procesador cuenta, en su repertorio de instrucciones, con órdenes que permiten a un programa precargar un dato especificado en el nivel de la caché indicado. Normalmente, es el propio compilador el que se encarga de introducir estas instrucciones en los lugares y situaciones apropiados a la hora de generar el código en ensamblador de un programa.

Sin embargo, esta característica debe ser empleada con precaución, puesto que un mal uso puede derivar en una pérdida de eficiencia. Por ejemplo, la precarga de un dato que no será referenciado supondrá una carga extra e innecesaria para el procesador, además de que estará ocupando parte del valioso espacio disponible en la memoria caché.

Consecuentemente, es habitual que un compilador permita decidir al usuario si realizar este tipo de optimización o no. En este caso, el compilador *GCC* empleado permite activar o desactivar esta característica a la hora de iterar sobre arrays empleando las opciones `-fprefetch-loop-arrays` y `-fno-prefetch-loop-arrays` respectivamente.

IV-B. Experimentos adicionales estudiando la precarga

Para observar en qué medida puede beneficiar o perjudicar la técnica de la precarga a un programa basado fundamentalmente en el acceso a datos, como es el caso del programa de pruebas de los experimentos a realizar, se efectuarán a mayores una serie de experimentos en los que se intentará estudiar su influencia.

En primer lugar, se compararán los resultados obtenidos del programa en una compilación sin precarga mediante software frente a una versión que sí será optimizada por el compilador.

Continuando, dado que no es posible deshabilitar la precarga por hardware que el procesador trata de realizar identificando patrones, se tratará de dificultarle esta tarea alterando la generación de índices del array $e[]$. La modificación consistirá en añadir a cada índice un valor entero en el rango $[0, 3]$, de modo que los datos accedidos no se encuentren equitativamente espaciados.

V. REALIZACIÓN DE LOS EXPERIMENTOS

V-A. Automatización de los experimentos

Tal y como se ha mencionado previamente, la realización de los experimentos se ha apoyado en un script en el lenguaje Python. Este se encarga de, a partir de cinco valores para D dados, ejecutar el programa de pruebas con cada uno de ellos y con los siete valores de L posibles.

Todo ello se ejecuta un total de 10 veces, con el objetivo de considerar la posible variabilidad de los resultados entre ejecuciones.

V-B. Resultados de los experimentos

Para los valores de D es de importancia escoger un conjunto que permita observar los efectos del principio de localidad sobre los experimentos. Por ejemplo, escoger cinco valores consecutivos no sería de utilidad porque, muy probablemente, los resultados serían muy similares.

Los experimentos se han realizado por lo tanto sobre los siguientes valores de D : 1, 12, 38, 64 y 72.

Es necesario tener presentes las siguientes variantes a la hora de interpretar los resultados de los experimentos:

- **D**: determina cómo de distanciados se encuentran los valores a referenciar; consecuentemente, un mayor paso implica un menor cumplimiento del principio de localidad.
- **L**: determina el número de líneas distintas a las que es necesario acceder; un mayor número de líneas implica que se vean potenciados los efectos provocados por el resto de parámetros, al incrementar la extensión del experimento.
- Como consecuencia, D y L condicionan el número de líneas sin referenciar en un experimento; debe tenerse presente esto puesto que, al inicializarse todos los valores del array $A[]$ antes del bucle computacional, será posible encontrar en las memorias caché una cantidad relevante de líneas que no se referenciarán en el bucle computacional, cumpliéndose en menor medida el principio de localidad.

En la Figura 1 se pueden observar los resultados de los experimentos en función del valor dado para D . Se representan el promedio y la mediana para los ciclos obtenidos en cada conjunto de experimentos de cada D : la mediana se emplea para representar un valor global del resultado evitando que los extremos lo condicionen, y el promedio se muestra para ver en qué medida estos valores dispares afectan al valor global.

Como se puede observar, a medida que aumenta el paso entre los valores a los que es necesario acceder, el número de ciclos medios se ve incrementado debido por el motivo comentado previamente.

Por ejemplo, en el caso de $D = 1$, se accede a los datos del array $A[]$ de forma secuencial, viéndose claramente en los resultados obtenidos los beneficios del principio de localidad.

Continuando con el caso de $D = 12$, al presentarse en el computador de pruebas líneas caché en las que caben 8 valores `Double`, cada valor referenciado se encuentra en una línea distinta. En la mayor parte de los casos, estas líneas se dispondrán en memoria de forma consecutiva, mientras que, en otros casos, existirán líneas intermedias que no serán referenciadas; en la Figura 2 se puede ver una representación de este suceso. Por lo tanto, el principio de localidad se cumple en menor medida y, para los valores de L mayores, la media de ciclos por acceso se ve incrementada.

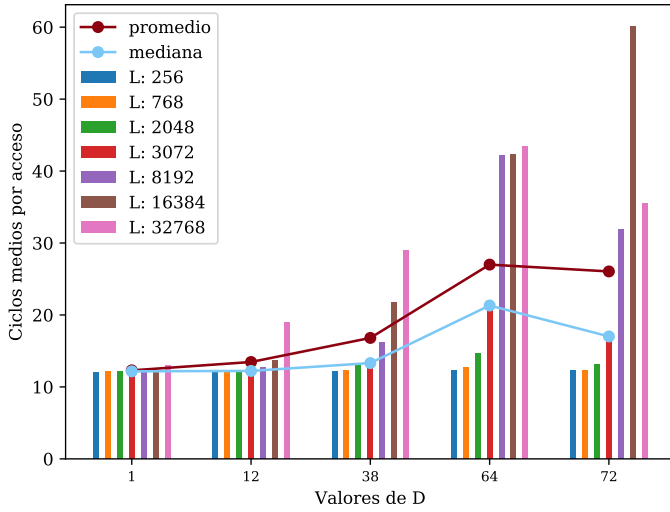


Figura 1. Ciclos medios por acceso a memoria respecto al valor de D . Para cada D se representan los siete posibles valores de L .

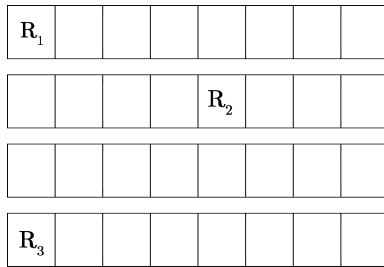


Figura 2. Representación gráfica de omisión de una línea con $D = 12$.

Observando ahora un caso más pronunciado, con $D = 72$, y considerando el número de valores `Double` que caben por línea, entre cada una de las referencias siempre quedan ocho líneas a las que no se accede. Esto puede verse claramente reflejado en los valores obtenidos en los correspondientes experimentos.

Finalmente, cabe destacar que lo esperable sería que los experimentos de $D = 72$ resultasen en una mayor cantidad de ciclos medios que en el caso de $D = 64$. Sin embargo, la Figura 1 no muestra este comportamiento, y esto puede ser atribuido a la variabilidad por diversos factores externos a la hora de realizar los experimentos, como que el sistema operativo no sea un entorno completamente aislado, o la asociatividad de las memorias caché.

Tocante a la Figura 3, se representan los mismos valores de la Figura 1, solo que invirtiendo la organización entre el eje de abscisas y los conjuntos de barras. El propósito de representación es poder analizar la variabilidad de los ciclos medios desde otro punto de vista, concretamente desde el parámetro L .

Por los motivos descritos anteriormente, a medida que se incrementa el valor del parámetro L , también se verán potenciados los efectos producidos a causa de las demás variantes como, por ejemplo, las líneas intermedias sin referenciar. Consecuentemente, se ve claramente reflejado en la última

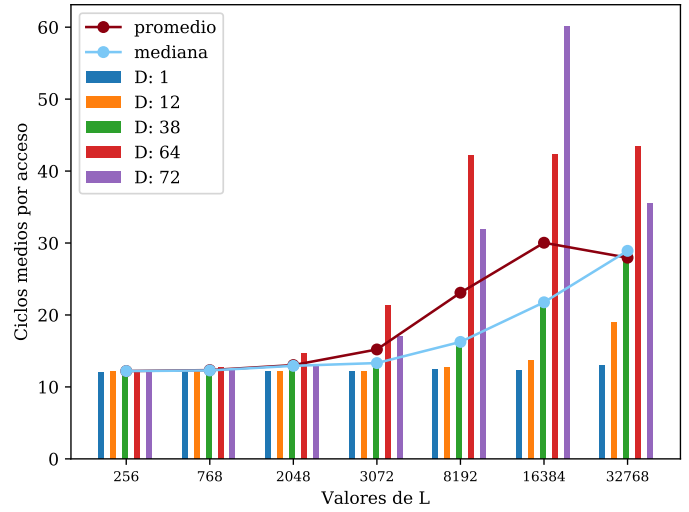


Figura 3. Ciclos medios por acceso a memoria respecto al valor de L . Para cada L se representan los cinco posibles valores de D .

Figura cómo la tendencia de los ciclos tiende a aumentar a medida que crece L .

El argumento de que el valor de L potencie los efectos de otros parámetros se ve reforzado, por ejemplo, observando en la Figura 1 los resultados de los experimentos para $D = 1$.

En estos casos, los ciclos medios se ven influenciados por los valores de L en mucha menor medida que en los demás casos, puesto que, al encontrar un paso igual a 1, el cumplimiento del principio de localidad se ve favorecido en gran medida. Por lo tanto, una varianza de L no supone un cambio significativo en los ciclos medios.

Para realizar una comparativa entre los ciclos medios por acceso a dato y la latencia en el acceso a los diversos niveles de la jerarquía de memoria, se lleva a cabo un benchmark de la suite *LMbench* [2] [3] que permite realizar, entre otras funcionalidades, una estimación de la latencia de la caché de un procesador.

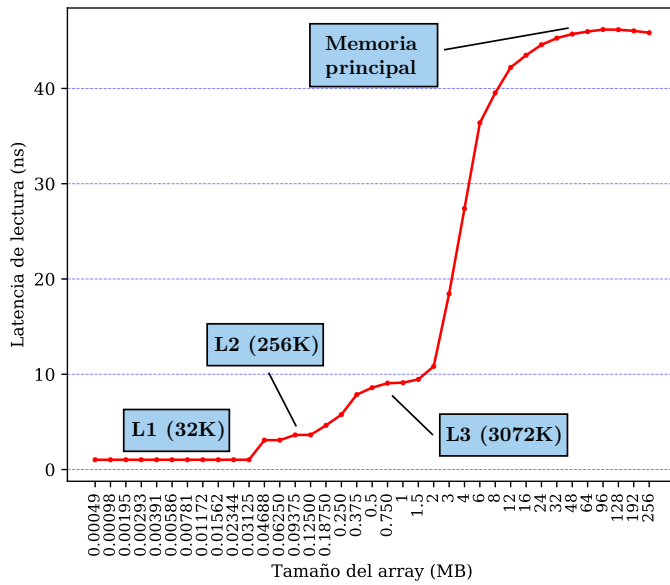
Se realizan las mediciones un total de cuatro veces para una mayor fiabilidad, y los resultados obtenidos se pueden ver representados en la Figura 4. Cada una de las regiones planas se corresponde con un nivel de la jerarquía de memoria, y los correspondientes valores se muestran en el Cuadro II de un modo más preciso.

Cuadro II
COMPARATIVA DE NIVELES DE CACHÉ DE UN PROCESADOR INTEL I3 7100.

NIVEL	Capacidad	Latencia (ns)	Latencia (ciclos)
L1 ^a	32 KB	1.0	3.9
L2	256 KB	3.1 - 5.8	12.1 - 22.6
L3	3072 KB	8.5 - 10.9	33.2 - 42.5

^aTan solo se considera la caché L1 de datos.

Con ello, es posible determinar que, en los mejores casos, los ciclos medios por acceso a dato se sitúan entorno a los mejores valores de la caché L2 del procesador de pruebas.




```

60 // Se registran los ciclos transcurridos desde el
61 // registro del contador
62 ck = get_counter();
63 400dd7: b8 00 00 00 00      mov     $0x0,%eax
64 400ddc: e8 a5 fc ff ff      callq   400a86 <get_counter>
65 400de1: f2 0f 11 04 24      movsdl  %xmm0,(%rsp)

Traducción a ensamblador del bucle computacional del programa de pruebas
sin incluir la precarga mediante software.

Como se puede observar, el bucle computacional
no incluye en su traducción a ensamblador ninguna
instrucción de precarga. Introduciendo ahora la opción
fprefetch-loop-arrays, se genera el siguiente código
en ensamblador:

1 /***** Pruebas *****/
2
3 // Se registra el contador de la CPU
4 start_counter();
5 4011f0: b8 00 00 00 00      mov     $0x0,%eax
6 4011f5: e8 79 f8 ff ff      callq   400a73 <
7 // start_counter>
8 4011fa: 4c 8d 6c 24 50      lea     0x50(%rsp),%r13
9 4011ff: 4d 8d 75 50      lea     0x50(%r13),%r14
10 401203: 4c 89 ef      mov     %r13,%rdi
11 401206: 41 8d 74 24 f1      lea     -0xf(%r12),%esi
12 40120b: e9 3b 01 00 00      jmpq    40134b <main+0x7d9>
13 {
14 // Se emplean los índices calculados
15 for( j = 0, suma = 0; j < R; j++ )
16 {
17 // Se realiza el acceso a memoria
18 suma += valoresA[ e[ j ] ];
19 401210: 48 63 d0      movslq  %eax,%rdx
20 401213: 48 63 14 93      movslq  (%rbx,%rdx,4),%rdx
21 401217: f2 0f 58 44 d5 00      addsd   0x0(%rbp,%rdx,8),%
22 // Se realizan las sumas especificadas
23 for( i = 0; i < NUM_S; i++ )
24 {
25 // Se emplean los índices calculados
26 for( j = 0, suma = 0; j < R; j++ )
27 40121d: 83 c0 01      add     $0x1,%eax
28 401220: 41 39 c4      cmp     %eax,%r12d
29 401223: 7f eb      jg      401210 <main+0x69e>
30 401225: e9 14 01 00 00      jmpq    40133e <main+0x7cc>
31 {
32 // Se realiza el acceso a memoria
33 suma += valoresA[ e[ j ] ];
34 40122a: 48 63 c8      movslq  %eax,%rcx
35 40122d: 48 8d 0c 8b      lea     (%rbx,%rcx,4),%rcx
36 401231: 0f 18 49 50      prefetcht0 0x50(%rcx)
37 401235: 48 63 09      movslq  (%rcx),%rcx
38 401238: f2 0f 58 44 cd 00      addsd   0x0(%rbp,%rcx,8),%
39 // xmm0
40 40123e: 48 63 ca      movslq  %edx,%rcx
41 401241: 48 63 0c 8b      movslq  (%rbx,%rcx,4),%rcx
42 401245: f2 0f 58 44 cd 00      addsd   0x0(%rbp,%rcx,8),%
43 // xmm0
44 40124b: 8d 48 02      lea     0x2(%rax),%ecx
45 40124e: 48 63 c9      movslq  %ecx,%rcx
46 401251: 48 63 0c 8b      movslq  (%rbx,%rcx,4),%rcx
47 401255: f2 0f 58 44 cd 00      addsd   0x0(%rbp,%rcx,8),%
48 // xmm0
49 40125b: 8d 48 03      lea     0x3(%rax),%ecx
50 40125e: 48 63 c9      movslq  %ecx,%rcx
51 401261: 48 63 0c 8b      movslq  (%rbx,%rcx,4),%rcx
52 401265: f2 0f 58 44 cd 00      addsd   0x0(%rbp,%rcx,8),%
53 // xmm0
54 40126b: 8d 48 04      lea     0x4(%rax),%ecx
55 40126e: 48 63 c9      movslq  %ecx,%rcx
56 401271: 48 63 0c 8b      movslq  (%rbx,%rcx,4),%rcx
57 401275: f2 0f 58 44 cd 00      addsd   0x0(%rbp,%rcx,8),%
58 // xmm0
59 40127b: 8d 48 05      lea     0x5(%rax),%ecx
60 40127e: 48 63 c9      movslq  %ecx,%rcx
61 401281: 48 63 0c 8b      movslq  (%rbx,%rcx,4),%rcx
62 401285: f2 0f 58 44 cd 00      addsd   0x0(%rbp,%rcx,8),%
63 // xmm0
64 40128b: 8d 48 06      lea     0x6(%rax),%ecx
65 40128e: 48 63 c9      movslq  %ecx,%rcx
66 401291: 48 63 0c 8b      movslq  (%rbx,%rcx,4),%rcx
67 401295: f2 0f 58 44 cd 00      addsd   0x0(%rbp,%rcx,8),%
68 // xmm0
69 40129b: 8d 48 07      lea     0x7(%rax),%ecx
70 40129e: 48 63 c9      movslq  %ecx,%rcx
71 4012a1: 48 63 0c 8b      movslq  (%rbx,%rcx,4),%rcx
72 4012a5: f2 0f 58 44 cd 00      addsd   0x0(%rbp,%rcx,8),%
73 // xmm0
74 4012ab: 8d 48 08      lea     0x8(%rax),%ecx
75 4012ae: 48 63 c9      movslq  %ecx,%rcx
76 4012b1: 48 63 0c 8b      movslq  (%rbx,%rcx,4),%rcx
77 4012b5: f2 0f 58 44 cd 00      addsd   0x0(%rbp,%rcx,8),%
78 // xmm0
79 4012bb: 8d 48 09      lea     0x9(%rax),%ecx
80 4012be: 48 63 c9      movslq  %ecx,%rcx
81 4012c1: 48 63 0c 8b      movslq  (%rbx,%rcx,4),%rcx
82 4012c5: f2 0f 58 44 cd 00      addsd   0x0(%rbp,%rcx,8),%
83 // xmm0
84 4012cb: 8d 48 0a      lea     0xa(%rax),%ecx
85 4012ce: 48 63 c9      movslq  %ecx,%rcx
86 4012d1: 48 63 0c 8b      movslq  (%rbx,%rcx,4),%rcx
87 4012d5: f2 0f 58 44 cd 00      addsd   0x0(%rbp,%rcx,8),%
88 // xmm0
89 4012db: 8d 48 0b      lea     0xb(%rax),%ecx
90 4012de: 48 63 c9      movslq  %ecx,%rcx
91 4012e1: 48 63 0c 8b      movslq  (%rbx,%rcx,4),%rcx
92 4012e5: f2 0f 58 44 cd 00      addsd   0x0(%rbp,%rcx,8),%
93 // xmm0
94 4012eb: 8d 48 0c      lea     0xc(%rax),%ecx
95 4012ee: 48 63 c9      movslq  %ecx,%rcx
96 4012f1: 48 63 0c 8b      movslq  (%rbx,%rcx,4),%rcx
97 4012f5: f2 0f 58 44 cd 00      addsd   0x0(%rbp,%rcx,8),%
98 // xmm0
99 4012fb: 8d 48 0d      lea     0xd(%rax),%ecx
100 4012fe: 48 63 c9      movslq  %ecx,%rcx
101 401301: 48 63 0c 8b      movslq  (%rbx,%rcx,4),%rcx
102 401305: f2 0f 58 44 cd 00      addsd   0x0(%rbp,%rcx,8),%
103 // xmm0
104 40130b: 8d 48 0e      lea     0xe(%rax),%ecx
105 40130e: 48 63 c9      movslq  %ecx,%rcx
106 401311: 48 63 0c 8b      movslq  (%rbx,%rcx,4),%rcx
107 401315: f2 0f 58 44 cd 00      addsd   0x0(%rbp,%rcx,8),%
108 // xmm0
109 40131b: 8d 48 0f      lea     0xf(%rax),%ecx
110 40131e: 48 63 c9      movslq  %ecx,%rcx
111 401321: 48 63 0c 8b      movslq  (%rbx,%rcx,4),%rcx
112 401325: f2 0f 58 44 cd 00      addsd   0x0(%rbp,%rcx,8),%
113 // xmm0
114 40132b: 83 c0 10      add     $0x10,%eax
115 40132e: 83 c2 10      add     $0x10,%edx
116 401331: 39 d6      cmp     %dx,%esi
117 401333: 0f 8f f1 fe ff ff      jg      40122a <main+0x6b8>
118 401339: e9 d2 fe ff ff      jmpq    401210 <main+0x69e>
119 // Se almacena la reducción de punto flotante
120 valoresS[ i ] = suma;
121 40133e: f2 0f 11 07      movsdl  %xmm0,(%rdi)
122 401342: 48 83 c7 08      add     $0x8,%rdi
123 // Se registra el contador de la CPU
124 start_counter();
125 // Se realizan las sumas especificadas
126 for( i = 0; i < NUM_S; i++ )
127 401346: 4c 39 f7      cmp     %r14,%rdi
128 401349: 74 37      je      401382 <main+0x810>
129 {
130 // Se emplean los índices calculados
131 for( j = 0, suma = 0; j < R; j++ )
132 40134b: 66 0f ef c0      pxor    %xmm0,%xmm0
133 40134f: 45 85 e4      test    %r12d,%r12d
134 401352: 7e ea      jle     40133e <main+0x7cc>
135 401354: 83 fe 01      cmp     $0x1,%esi
136 401357: 7e 1b      jle     401374 <main+0x802>
137 401359: ba 01 00 00 00      mov     $0x1,%edx
138 40135e: b8 00 00 00 00      mov     $0x0,%eax
139 401363: 66 0f ef c0      pxor    %xmm0,%xmm0
140 401367: 41 81 fc 0f 00 00 80      cmp     $0x8000000f,%r12d
141 40136e: 0f 8d b6 fe ff ff      jge     40122a <main+0x6b8>
142 401374: b8 00 00 00 00      mov     $0x0,%eax
143 401379: 66 0f ef c0      pxor    %xmm0,%xmm0

```

```

132 40137d: e9 8e ff ff      jmpq 401210 <main+0x69e>
133 // Se almacena la reducción de punto flotante
134 valoresS[ i ] = suma;
135 }
136
137 // Se registran los ciclos transcurridos desde el
138 registro del contador
139 ck = get_counter();
140 401382: b8 00 00 00 00    mov  $0x0,%eax
141 401387: e8 fa f6 ff ff    callq 400a86 <get_counter>
142 40138c: f2 0f 11 04 24    movsd %xmm0,(%rsp)

```

Traducción a ensamblador del bucle computacional del programa de pruebas incluyendo la precarga mediante software.

Ahora sí se introducen en el programa instrucciones de precarga, concretamente en tres situaciones: en la generación de los valores del array $A[]$, en la generación de los índices contenidos en el array $e[]$, y en el bucle computacional. Tan solo se representa este último caso por cuestiones de espacio.

Cabe destacar además que en el primer y último caso se replica el código correspondiente a cada línea de C para ejecutarla un total de 16 veces de forma secuencial. Además, estas líneas no cuentan con una única traducción en código ensamblador.

Antes de continuar, debe considerarse que en el bucle computacional se efectúa un acceso a un array de forma indirecta, pero tan sólo se incluye una instrucción de precarga en cada iteración. Por lo tanto, el compilador puede haber decidido emplear esta técnica o bien sobre $A[]$, o bien sobre $e[]$.

Para aclarar esta cuestión, se modifica ligeramente el código del programa. Ahora, se obtiene en primer lugar un índice accediendo a $e[]$ y, tras ello, se accede a la posición de $A[]$ apropiada. El resultado de la compilación es el siguiente:

```

1 // Se realiza el acceso a memoria
2 indice = e[ j ];
3 40122a: 48 63 c8          movslq %eax,%rcx
4 40122d: 48 8d 0c 8b       lea  (%rbx,%rcx,4),%rcx
5 401231: 0f 18 49 50       prefetcht0 0x50(%rcx)
6 suma += valoresA[ indice ];
7 401235: 48 63 09          movslq (%rcx),%rcx
8 401238: f2 0f 58 44 cd 00 addsd 0x0(%rbp,%rcx,8),%xmm0

```

Fragmento de la traducción a ensamblador del bucle computacional del programa de pruebas incluyendo la precarga mediante software.

De este modo sí es posible observar cómo la instrucción de precarga generada corresponde a la línea de C en la que se referencia un valor de $e[]$, por lo cual se puede concluir que la precarga no se realiza sobre el array $A[]$. Consecuentemente, la precarga mediante software no debería suponer una notable diferencia en términos de rendimiento, puesto que simplemente se precargan elementos a los que se accede de por sí de forma secuencial y, por lo tanto, el principio de localidad beneficiará claramente la ejecución.

Sin embargo, es de interés considerar la "réplica" de instrucciones en ensamblador llevada a cabo así como la disponibilidad de diversas implementaciones de algunas líneas de C. Como se puede observar en el código dispuesto anteriormente, en cada iteración de una versión del bucle computacional se realizan, aparentemente, 16 sumas en lugar de una única. Además, la instrucción de precarga se sitúa al inicio de este mismo. Sabiendo que la precarga se efectúa sobre los elementos de $e[]$, que son de tipo `int` (4 bytes), y que una

línea del computador de pruebas contiene 64 bytes, en cada una de ellas se pueden almacenar 16 valores de $e[]$.

Por todo ello, es probable que el compilador decida realizar la siguiente optimización: si es posible, se realizan 16 iteraciones originales del bucle en una única, indicando al inicio de esta última que se traiga la siguiente línea de elementos de $e[]$ que podrán ser empleados en la siguiente iteración. De este modo, mientras se emplean los 16 elementos disponibles de $e[]$, los siguientes 16 son traídos simultáneamente evitando, si es posible, que se produzca un fallo de caché al inicio de la próxima iteración. En caso de que simplemente sea imposible realizar 16 sumas consecutivas, se emplea una versión alternativa en ensamblador del bucle computacional, realizando las sumas de una en una al igual que en el código original en C.

Si esta es realmente la optimización llevada a cabo por el compilador, quizá sí sea posible percibir una mejora sobre la velocidad de ejecución como consecuencia de la precarga, al poder evitar que se produzca un fallo de caché por tratar de leer un índice que no se encuentre en ella.

Finalmente, cabe destacar que se ha tratado de forzar, sin éxito, que el compilador efectúe la precarga sobre el array $A[]$, dado que los índices almacenados en $e[]$ se encuentran equiespaciados, y quizá sería capaz de detectar dicho patrón en esos accesos a memoria. Las pruebas realizadas son las siguientes:

- Eliminar el bucle correspondiente a las diez reducciones de punto flotante, realizándose tan solo una con el objetivo de reducir la complejidad del código de cara al compilador, puesto que se encontraba con dos bucles `for` anidados.
- En lugar de obtener los índices a partir del array $e[]$, se accede a un valor de $A[]$ directamente en función del número de iteración, del mismo modo en que los índices son generados, resultando en `suma += valoresA[j * D]`.
- Las dos anteriores pruebas conjuntas.
- Emplear el compilador Clang para comprobar su política a la hora de efectuar las optimizaciones.

A continuación, se pueden observar en la Figura 5 los ciclos medios por acceso obtenidos sin realizar la precarga de los elementos de $e[]$.

Y, para poder estudiar la eficiencia a la hora de precargar los índices, se comparará la Figura anterior con la Figura 6, en la que se muestran los ciclos medios obtenidos empleando la precarga sobre los índices contenidos en $e[]$.

Estas figuras muestran que, el hecho de realizar la precarga por software o no, no supone una variabilidad relevante de los ciclos medios por acceso.

De todos modos, puede observarse que la precarga puede afectar a los valores más pequeños de D y de L , como pueden ser $D = 1$ o $D = 38$, y $L = 256$ o $L = 2048$. En estos casos, es posible que los ciclos medios sí se puedan ver incrementados en la Figura 5 respecto a la Figura 6.

Este puede suceder por las siguientes cuestiones:

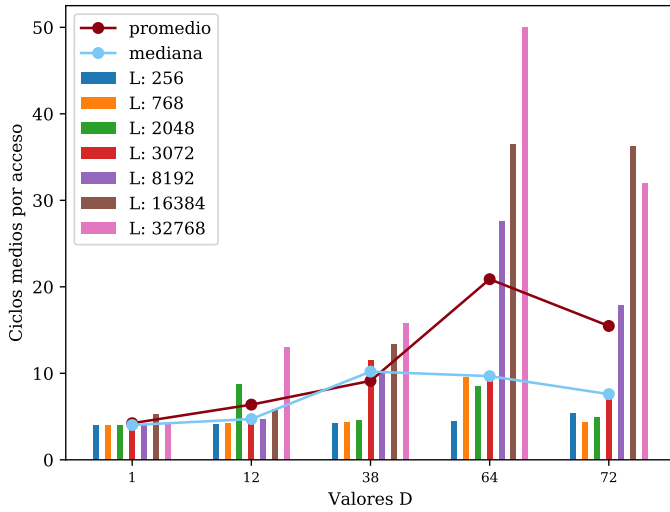


Figura 5. Ciclos medios por acceso a memoria respecto al valor de D sin emplear la precarga mediante software (nivel 1 de optimización).

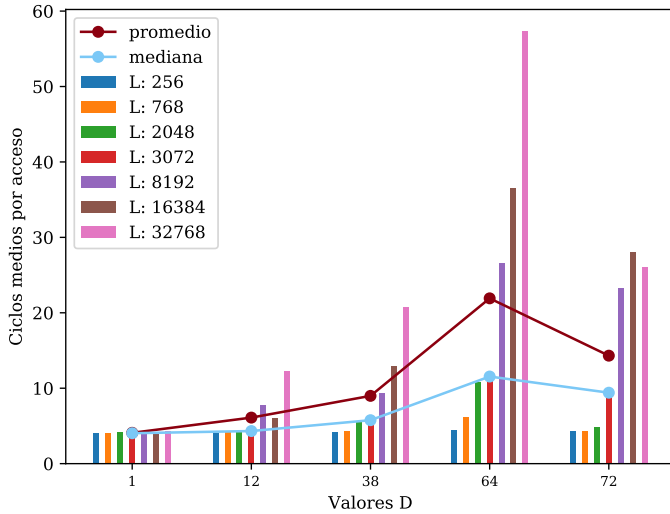


Figura 6. Ciclos medios por acceso a memoria respecto al valor de D empleando la precarga mediante software (nivel 1 de optimización).

- Si un experimento presenta un número de ciclos medios reducido, como por ejemplo los casos de $D = 1$, una pequeña variación en el rendimiento a la hora de la ejecución se hará notar en mayor medida que en un experimento como el de $D = 64$ y $L = 32768$, en que se dan valores mucho más elevados.
- Es relevante además el tamaño del experimento, es decir, el número de elementos a inicializar y a leer, puesto que la precarga por software se puede hacer notar en mayor medida en casos pequeños respecto a la precarga por hardware, la cual necesita identificar patrones en accesos a datos para funcionar correctamente. Consecuentemente, es posible que los experimentos de mayor envergadura se vean influenciados de una manera importante por la precarga mediante hardware, y por ende la precarga por

software no varíe tanto los resultados.

V-C2. Precarga mediante hardware: Como se explicó anteriormente, la precarga por hardware es inherente al procesador de pruebas, por lo que simplemente es posible tratar de reducir su efectividad, en lugar de desactivarla como en el caso de la precarga mediante software.

Para ello, se realiza la modificación especificada anteriormente, y el segmento del programa de pruebas en donde se generan los índices resulta del siguiente modo:

```
1 ENTORNO = 3
2
3 for ( i = 0; i < R; i++ )
4 {
5     // Se consideran el número de posición y el paso
6     // dado junto a un entero aleatorio entre [0,
7     // ENTORNO]
8     e[ i ] = i * D + rand() % ENTORNO;
9 }
```

Programa de pruebas en el que se trata de evitar la precarga mediante hardware.

El programa es compilado con la opción `-O0`, dado que ya que no es necesario forzar una optimización mediante software. Se pueden observar los resultados obtenidos en la Figura 7. Comparándola con la Figura 1, la progresión de los ciclos medios (promedio y mediana) a medida que crece el valor de D se mantiene prácticamente igual en la mayor parte de los casos.

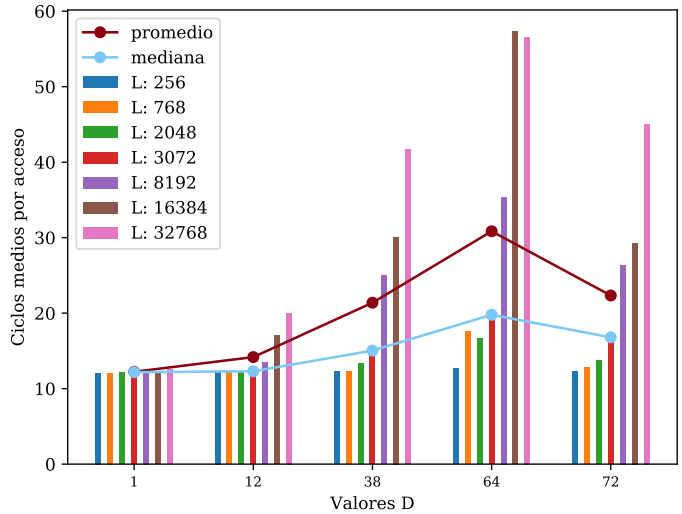


Figura 7. Ciclos medios por acceso a memoria respecto al valor de D tratando de evitar la precarga mediante hardware.

Sin embargo, considerando el tamaño total de los experimentos, es decir, la combinación de D y L , se puede observar que en los casos intermedios sí se produce un leve incremento de los ciclos medios respecto a la Figura 1. Esto se puede ver reflejado en experimentos como $D = 12$ y $L = 16384$, $D = 38$ y $L = 8192$, o $D = 64$ y $L = 768$.

Esto puede ser debido a que, para tamaños pequeños, la efectividad del principio de localidad evita que la variabilidad de la precarga por hardware afecte de forma importante a los resultados. Por otra parte, para tamaños grandes, los

resultados de los experimentos muestran que la ejecución se ve notablemente perjudicada debido a que los parámetros dados no favorecen que se cumpla el principio de localidad, y por lo tanto la pequeña variabilidad en los intentos de burlar la precarga mediante hardware no se hace notar.

Finalmente, cabe destacar que se producen dos picos en los dos últimos experimentos con $D = 64$, que simplemente pueden deberse a otros factores. Sucede algo similar con el pico de la Figura 1 para $D = 72$ y $L = 16384$.

VI. CONCLUSIONES DE LOS EXPERIMENTOS

A partir de los experimentos realizados, se puede extraer una serie de conclusiones acerca de la influencia del principio de localidad en la ejecución de un programa que depende en gran medida del acceso a datos, y sobre la efectividad de las técnicas de precarga disponibles para el procesador de pruebas.

Comenzando con el principio de localidad, se concluye que, a medida que los datos se encuentran más distanciados entre sí, el número de ciclos medio por acceso a dato se ve incrementado en función de ello. Esto se debe a que se cumple en menor medida el principio de localidad y, por lo tanto, el rendimiento en la ejecución se ve claramente degradado.

A mayores, también se puede observar que estos resultados se ven influenciados por el número de líneas caché (parámetro L) a las que se debe acceder; es decir, el principal determinante del tamaño de un experimento. Por ejemplo, en un caso en el que el principio de localidad apenas se cumpla, las consecuencias de ello se harán notar en mayor medida al realizarse un mayor número de accesos.

Tocante a las implementaciones disponibles para la precarga, se pueden extraer dos conclusiones.

En cuanto a la precarga mediante *software*, esta no condiciona de forma notable el resultado de los experimentos.

Además, es necesario tener en cuenta el compilador empleado, dado que se relega a este la tarea de optimizar el código generado para incluir este tipo de precarga. El compilador debería realizarlo de una forma óptima para no perjudicar el rendimiento del programa compilado, puesto que la inclusión de la precarga resulta en un mayor número de instrucciones en ensamblador, y además todas ellas implican la carga de datos. Por lo tanto, un empleo incorrecto de estas instrucciones supondría una mayor carga sobre el procesador y el desaprovechamiento de parte de la memoria caché.

Por otro lado, la precarga mediante *hardware* es inherente al procesador empleado y, por lo tanto, no es posible que el programador la deshabilite para observar su influencia en el rendimiento del programa. Por lo tanto, tan solo se ha podido intentar evitarla distorsionando los patrones de acceso a datos, y tan solo se han podido observar unos pocos experimentos en los que se vean reflejados sus beneficios, siendo imposible extraer una conclusión global.

REFERENCIAS

- [1] Intel Corporation, "Intel Core i3-7100 Processor (3M Cache, 3.90 GHz) Product Specification" [en línea]. Disponible en: <https://ark.intel.com/content/www/us/en/ark/products/97455/intel-core-i3-7100-processor-3m-cache-3-90-ghz.html> [fecha de consulta: 24/02/2019].
- [2] Larry McVoy, Carl Staelin, "LMBench - Tools for Performance Analysis" [en línea]. Disponible en: <http://lmbench.sourceforge.net/> [fecha de consulta: 28/02/2019].
- [3] Larry McVoy, Carl Staelin, "Lmbench: Portable Tools for Performance Analysis" [en línea]. Disponible en: https://www.usenix.org/legacy/publications/library/proceedings/sd96/full_papers/mcvoy.pdf [fecha de consulta: 28/02/2019].
- [4] Intel Corporation, "Intel® 64 and IA-32 Architectures Software Developer's Manual Combined Volumes: 1, 2A, 2B, 2C, 2D, 3A, 3B, 3C, 3D, and 4 — Intel® Software" [en línea]. Disponible en: <https://software.intel.com/en-us/download/intel-64-and-ia-32-architectures-sdm-combined-volumes-1-2a-2b-2c-2d-3a-3b-3c-3d-and-4> [fecha de consulta: 03/03/2019].
- [5] GCC project, "John (Eljay) Love-Je - RE: Undocumented optimization flag, switched by O1" [en línea]. Disponible en: <https://gcc.gnu.org/ml/gcc-help/2007-11/msg00214.html> [fecha de consulta: 03/03/2019].
- [6] John L. Hennessy, y David A. Patterson, "Computer Architecture: A Quantitative Approach," Quinta Edición, Morgan Kaufmann, 2011.